

**МАТЕРИАЛЫ МЕЖДУНАРОДНОГО МЕЖДИСЦИПЛИНАРНОГО СИМПОЗИУМА**  
“Упорядочение в минералах и сплавах” ОМА-16  
(Ростов-на-Дону, сентябрь 2013 г.)

Сопредседатели Оргкомитета международного междисциплинарного симпозиума  
“Упорядочение в минералах и сплавах” ОМА-16  
академик РАН **В.А. Чантурия**  
д-р физ.-мат. наук **Ю.М. Гуфан**

Материалы международного междисциплинарного симпозиума  
“Упорядочение в минералах и сплавах” ОМА-16  
под общей редакцией д-ра физ.-мат. наук **Ю.М. Гуфана**

и

**МАТЕРИАЛЫ МЕЖДУНАРОДНОГО МЕЖДИСЦИПЛИНАРНОГО СИМПОЗИУМА**  
“Порядок, беспорядок и свойства оксидов” ODPO-16  
(Ростов-на-Дону, сентябрь 2013 г.)

Сопредседатели Оргкомитета международного междисциплинарного симпозиума  
“Порядок, беспорядок и свойства оксидов” ODPO-16  
академик РАН **Ю.В. Гуляев**  
д-р физ.-мат. наук **Ю.М. Гуфан**  
д-р физ.-мат. наук **В.Г. Шавров**

Материалы международного междисциплинарного симпозиума  
“Порядок, беспорядок и свойства оксидов” ODPO-16  
под общей редакцией д-ра физ.-мат. наук **Ю.М. Гуфана**

УДК 534.2

## РОЛЬ НАНОСЕКУНДНЫХ ПРОЦЕССОВ В ФОРМИРОВАНИИ ДОМЕНОВ В СЕГНЕТОЭЛЕКТРИЧЕСКИХ КРИСТАЛЛАХ

© 2014 г. А. В. Голенищев-Кутузов, В. А. Голенищев-Кутузов,  
Р. И. Калимуллин, А. А. Потапов

Федеральное государственное автономное образовательное учреждение высшего профессионального образования  
“Казанский государственный энергетический университет”

E-mail: [kalru@newmail.ru](mailto:kalru@newmail.ru)

Рассмотрен вклад пироэлектрического и фотовольтаического эффектов в формирование индуцированных доменов в оксидных сегнетоэлектриках типа ниобата лития при облучении кристаллов наносекундными сфокусированными лазерными пучками. Установлено, что формирование инвертированных доменов в области облучения происходит при комбинированном воздействии генерируемых пироэлектрического и фотовольтаического полей в условиях резкого повышения температуры. Показано, что наиболее устойчивые домены возникают в образцах ниобата лития, содержащих примесные ионы  $\text{Fe}^{2+}$  и  $\text{Fe}^{3+}$ .

DOI: 10.7868/S0367676514040176

В последние два десятилетия было разработано несколько способов формирования отдельных доменов и периодических доменных структур (ПДС) с помощью лазерных пучков, что явилось основой для формирования наиболее совершенных фотонных и фононных кристаллов [1–3]. Обычно для этих целей ранее применялось либо непрерывное излучение, либо достаточно длительные ( $10^{-6}$ – $10^{-1}$  с) импульсы. В этих экспериментах было обнаружено нагревание образцов при облучении, что приводило к уменьшению коэрцитивного поля  $E_c$  [4, 5]. Однако в последние годы появились работы, в которых формирование доменов и ПДС выполнялось с помощью сверхкоротких ( $10^{-9}$ – $10^{-8}$  с) мощных импульсов статического электрического поля или лазера [6, 7]. Более того, появились работы [8–11], где индуцируемый лазером пироэлектрический эффект рассматривали как способ получения электронных, рентгеновских и нейтронных пучков. Следует отметить тенденцию использования в исследований стехиометрических образцов ниобата лития (НЛ), хотя они и весьма сложны в изготовлении, но обладают при этом значительно меньшими значениями  $E_c$ . Однако до сих пор нет единой модели формирования доменов в подобных образцах лазерным способом [12, 13]. В последних работах [10, 11] использовали конгруэнтные образцы НЛ, допированные ионами железа, однако в них не обращали внимания на соотношение концентраций ионов  $\text{Fe}^{2+}$  и  $\text{Fe}^{3+}$ , в то время как именно ионы  $\text{Fe}^{2+}$  имеют полосу поглощения вблизи 500 нм, а также являются ян-теллеровскими ионами с сильными градиентами внутрикристаллических электрических полей.

Нами выполнено более подробное изучение влияния примесных ионов железа на формирование доменов в НЛ одним мощным лазерным импульсом с  $\lambda = 530$  нм и  $\lambda = 800$  нм. Интенсивность коротких ( $\tau_l \leq 10$  нс) импульсов варьировали в пределах  $10^{10}$ – $10^{11}$  Вт · м<sup>-2</sup>. Облучение выполняли остросфокусированным пучком с  $\varnothing \sim 0.5$  мм вдоль оси  $\vec{c}$  образцов. Были исследованы два образца с размерами  $10 \times 8 \times 0.5$  мм: один – с оптимальной общей концентрацией ионов железа  $C = 10^{23}$  м<sup>-3</sup> и соотношением концентраций  $C_{\text{Fe}^{2+}}/C_{\text{Fe}^{3+}} \approx 0.3$ , выбранным на основе предварительных исследований [14]; второй – номинально чистый. Измерение значений напряженности фотогенерированных полей  $E_p$  выполняли по изменению показателя преломления  $\Delta n$  с помощью дополнительного Не–Не-лазера:

$$\Delta n(r, t) = -\frac{1}{2} n_o^3 \cdot r \cdot E_p, \quad (1)$$

где  $r$  – эффективный электрооптический коэффициент;  $n_o$  – показатель преломления обыкновенного луча.

К главным особенностям полученных результатов по воздействию коротких и мощных лазерных импульсов на чистые и допированные железом образцы НЛ можно отнести обнаружение следующего ряда фотоиндуцированных процессов, происходящих за время воздействия одиночного импульса ( $\tau_l \leq 10$  нс).

1. Возникновение и спад пироэлектрического тока и напряжения (рис. 1). Пироэлектрический ток и напряжение измеряли с помощью электро-

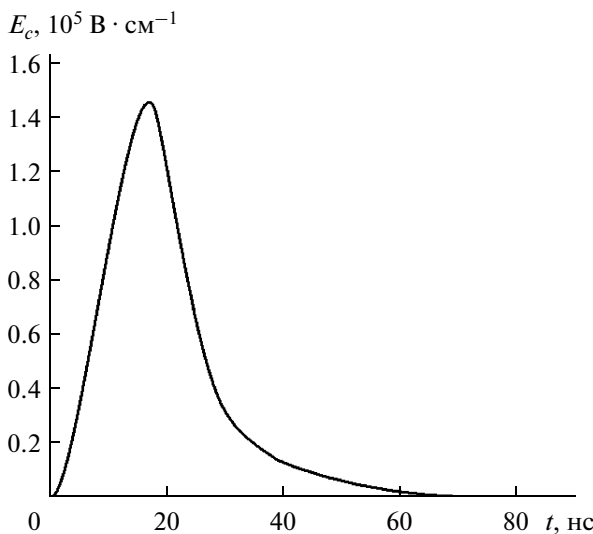


Рис. 1. Временная зависимость фотоиндукционного поля при облучении с  $\lambda = 530$  нм.

дов, нанесенных на противоположные плоскости образцов:

$$E_{piro} = \frac{p}{\epsilon \epsilon_0} \frac{\Delta T}{\Delta t}, \quad (2)$$

где  $p$  – пироэлектрический коэффициент.

При этом значения тока и напряжения были на порядок больше в допированном образце по сравнению с чистым. Эти же значения были в 2–3 раза большими при облучении допированного образца с  $\lambda = 530$  нм, чем при  $\lambda = 800$  нм.

2. Возникновение фотовольтаического поля  $E_{ph}$ , достаточного для локальной переполяризации допированного образца с  $\lambda = 530$  нм (рис. 2).

3. Возникновение и спад локального импульсного повышения температуры облучаемого объема с градиентом  $\Delta T/\Delta t \approx 10^7 \text{ К} \cdot \text{с}^{-1}$ .

4. Возникновение локального домена в области лазерного облучения с  $\lambda = 530$  нм С-поверхности образца на глубину до 10 мкм за счет одновременного воздействия импульсного нагрева и фотовольтаического поля (рис. 2).

В зависимости от мощности короткого лазерного импульса во временном интервале до 10 нс достигались практически предельные значения температуры ( $\geq 10^3$  К), напряженности фотовольтаического поля ( $E_{ph} \approx 3 \cdot 10^7 \text{ В/м}$ ), верхний предел которых ограничивался внутренним электрическим пробоем или разрушением образца. Полученные значения  $\Delta T/\Delta t$  и  $E_{ph}$  во временном интервале  $\tau_l$  практически совпадают с данными работы [15], однако подобные значения плотности пироэлектрического тока  $J_{piro}$  были получены нами при меньшем (до 30%) значении мощности  $P$  лазерного пучка, поскольку  $J_{piro}$  пропорциональна коэффициенту оптического поглощения  $\alpha$ . Для

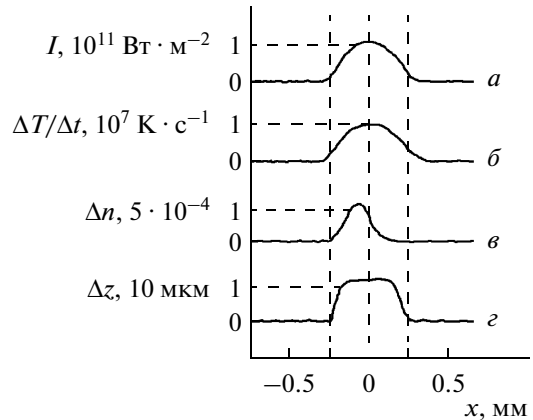


Рис. 2. Пространственная зависимость вдоль оси  $\vec{x}$ : а – интенсивности лазерного пучка; б – скорости изменения температуры; в – изменения показателя преломления; г – глубины формирования домена вдоль оси  $\vec{c}$  ( $\vec{z}$ ).

ранее исследованных образцов с низким отношением  $C_{Fe^{2+}}/C_{Fe^{3+}}$  пироэлектрическое поле в несколько раз превышало фотовольтаическое. Это совершенно закономерно, поскольку  $C_{Fe^{2+}}$  в них была в 3–5 раз меньше, чем в наших образцах.

Таким образом, можно полагать, что в образцах ниобата лития с общей концентрацией ионов железа  $10^{23} \text{ м}^{-3}$  и оптимальным соотношением  $C_{Fe^{2+}}/C_{Fe^{3+}} \approx 0.3$  локальная переполяризация при столь коротком лазерном импульсе с  $\lambda = 530$  нм возникает за счет фотоиндукционного поля  $E_p$ , образованного двумя вкладами: пироэлектрическим полем  $E_{piro}$  и фотовольтаическим полем  $E_{ph}$ , созданным градиентами полей ян-теллеровских ионов  $Fe^{2+}$ . При  $\lambda = 800$  нм поле  $E_{ph}$  крайне мало, а поле  $E_{piro}$  уменьшается менее значительно по сравнению с облучением при  $\lambda = 530$  нм. В последнем случае формирование доменов возникает только при приложении внешнего поля, направленного навстречу полю  $E_c$ .

Наносекундный процесс формирования доменов подтверждается и более ранней работой [15], в которой наблюдали изменение показателя преломления в кристаллах ниобата лития, допированных железом, под действием одного лазерного импульса с  $\tau_l = 20$  нс. В обоих случаях роль повышения температуры в области облучения до 400–600°C сводилась к значительному уменьшению (в несколько раз) поля  $E_c$ . По сравнению с изложенными выше результатами по изучению фотоиндукционных процессов в допированных образцах в ранее использовавшихся беспримесных кристаллах ниобата лития время формирования доменов было значительно больше (более чем на порядок).

В настоящее время для беспримесных кристаллов пока не предложена единая модель оптического формирования доменов, причем в наиболее продвинутой модели [5] предполагается более долгий по времени термодиффузионный процесс перемещения ионов лития по вакансиям. В нашем же случае быстрый “перескок” электронов от ионов  $\text{Fe}^{2+}$  к  $\text{Fe}^{3+}$  обеспечивают наносекундный процесс формирования доменов.

Таким образом, в работе предложен и реализован новый механизм формирования доменов с помощью коротких наносекундных лазерных импульсов в допированных железом кристаллах ниобата лития.

#### СПИСОК ЛИТЕРАТУРЫ

1. Kahman F., Pankrath R., Rupp R. // Opt. Commun. 1994. V. 107. P. 6.
2. Chao S., Davis W., Tuschel D. et al. // Appl. Phys. Lett. 1995. V. 67. P. 1066.
3. Голенищев-Кутузов А.В., Калимуллин Р.И. // Физика тв. тела. Т. 1998. В. 40. С. 531.
4. Hone M., Townesend P. // Appl. Phys. Lett. 1995. V. 66. P. 2667.
5. Steigewald H., Lilienblum M., Cube F. von et al. // Phys. Rev. B. 2010. V. 52. P. 214105.
6. Mingaliev E.A., Shur Y.Y., Kuznetsov D.K., Lebedev V.A. // 11th Int. Symp. on ferroelectric domains, Ekaterinburg. Abstract Book, 2012. P. 196.
7. Kuznetsov D.K., Mingaliev E.A., Shur Y.Y. // Ibid. P. 196.
8. Brownridge D. // Nature. 1992. V. 358. P. 287.
9. Naranjo B., Gimzewski J., Putterman S. // Nature. 2005. V. 434. P. 1115.
10. Kitamura K., Hatano H., Takekawa S. et al. // Appl. Phys. Lett. 2010. V. 97. P. 082963.
11. Kitamura K., Louchev O.A., Hatano H., Wada S. // 11th Int. Symp. on ferroelectric domains, Ekaterinburg. Abstract Book, 2012. P. 31.
12. Wang W., Kong Y., Liu H. et al. // J. Appl. Phys. 2009. V. 105. 043105.
13. Zeng H., Kong Y., Liu H. et al. // J. Appl. Phys. 2010. V. 107. 063514.
14. Голенищев-Кутузов В.А., Голенищев-Кутузов А.В., Калимуллин Р.И., Потапов А.А. // Изв. РАН. Сер. физ. 2013. Т. 77. С. 326; Golenishchev-Kutuzov A.V., Golenishchev-Kutuzov V.A., Kallimulin R.I., Potapov A.A. // Buss. Russ. Akad. Sci.: Physics. 2013. V. 77. № 3. P. 292.
15. Simon M., Jermann F., Kratzig E. // Opt. Mater. 1995. V. 4. P. 286.